



# БИООРГАНИЧЕСКАЯ ХИМИЯ

том 2 \* № 7 \* 1976

УДК 541.127

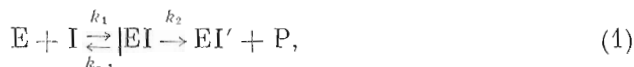
## ПРЯМОЕ ИЗМЕРЕНИЕ ХАРАКТЕРИСТИЧЕСКИХ ВРЕМЕН РАСПАДА ФЕРМЕНТ-ИНГИБИТОРНЫХ КОМПЛЕКСОВ

Лапицкий К. В., Самокшин В. А., Смирнов О. Н.

Институт эволюционной физиологии и биохимии им. И. М. Сеченова  
Академии наук СССР, Ленинград

В прямом эксперименте измерены характеристические времена распада фермент-ингибиторных комплексов, образующихся при взаимодействии бутирилхолинэстеразы сыворотки крови лошади (КФ 3.4.4.8) с тремя фосфорорганическими ингибиторами необратимого типа действия. На основе общепринятой двухстадийной схемы реакции бутирилхолинэстеразы с необратимыми фосфорорганическими ингибиторами обсуждается соотношение величин констант скорости распада фермент-ингибиторных комплексов ( $k_{-1}$ ) и констант скорости фосфорилирования фермента ( $k_2$ ). Делается вывод о неправомерности применения к реакциям такого типа формализма, основанного на предположении  $k_{-1} \gg k_2$ .

Как известно [1], взаимодействие необратимых фосфорорганических ингибиторов с бутирилхолинэстеразой описывается двухстадийной кинетической схемой, включающей ассоциативную стадию:



где  $EI$  — фермент-ингибиторный комплекс,  $EI'$  — фосфорилированный фермент,  $P$  — отщепляющаяся часть ингибитора.

До сих пор реакции, протекающие по схеме (1), анализируются с произвольным допущением  $k_{-1} \gg k_2$  [2—5]. При этом используется зависимость константы скорости реакции первого порядка ( $K_1$ ) от концентрации вещества, находящегося в избытке ( $[I]$ ):

$$K_1 = \frac{k_1 k_2 [I]}{k_{-1} + k_1 [I]}. \quad (2)$$

Считается, что эта формула реализуется в условиях, когда

$$[EI]/[E] = k_1 [I]/k_{-1}. \quad (3)$$

Однако, как было показано ранее [6], если в процессе реакции сохраняется постоянное по времени соотношение  $[EI]/[E]$ , общее выражение для  $K_1$  имеет следующий вид:

$$K_1 = \frac{1}{2} [k_1 [I] + k_{-1} + k_2 - \sqrt{(k_1 [I] + k_{-1} + k_2)^2 - 4k_1 k_2 [I]}]. \quad (4)$$

Различия между соотношениями (2) и (4) особенно существенны в области малых значений  $k_1 [I]$ . Это видно, например, из сравнения производных

Константы скоростей элементарных стадий реакции бутирилхолинэстеразы сыворотки крови лошади с фосфороганическими ингибиторами (I) — (III)

Ингибитор	$k_1 \cdot 10^{-4}$ , $\text{M}^{-1}\text{с}^{-1}$	$k_{-1}$ , $\text{с}^{-1}$	$k_2$ , $\text{с}^{-1}$
О-Бутил-S-(β-фенилметиламиноэтил)-метилтиофосфонат (I)	5,0 ± 0,6	0,011 ± 0,004	0,029 ± 0,004
О-Пропил-S-(β-фенилметиламиноэтил)-метилтиофосфонат (II)	1,3 ± 0,5	0,009 ± 0,003	0,024 ± 0,004
О-Этил-S-(β-бутилмеркаптоэтил)фенилтиофосфонат (III)	2,8 ± 0,3	0,034 ± 0,005	0,031 ± 0,002

функции  $[I]/K_I$ . Соответственно для уравнения (2) производная всегда равна  $1/k_2$ , а для выражения (4) при  $[I] \rightarrow 0$  равна нулю. Следовательно, уравнение (2) является плохим приближением выражения (4) в области малых значений  $[I]$ .

Для реакций, подчиняющихся схеме (1), нами был предложен метод расчета констант скоростей элементарных стадий [6], основанный на анализе зависимости (4), которая осуществляется при достаточно больших временах течения реакции. Существенным в этом методе является тот факт, что исследуемая реакция анализируется при больших степенях накопления промежуточного комплекса.

С использованием зависимости (4) нами были определены константы скорости элементарных стадий реакции бутирилхолинэстеразы с тремя фосфороганическими ингибиторами (таблица). В настоящей работе представлены экспериментальные данные по прямому определению характеристических времен распада фермент-ингибиторных комплексов с этими ингибиторами, что дало возможность проверить абсолютные значения констант  $k_{-1}$  и  $k_2$ .

Характеристические времена распада фермент-ингибиторных комплексов определялись путем измерения кинетики распада этих комплексов по схеме



Процесс, протекающий по схеме (5), наблюдается, очевидно, если исходную реакционную смесь, составленную так, чтобы  $k_1[I] \gg (k_{-1} + k_2)$ , сильно разбавить в момент времени  $t \geq 1/k_1[I]$ . Степень разбавления должна быть такой, чтобы в конечной смеси выполнялось условие  $k_1[I] \ll (k_{-1} + k_2)$ .

По кривизне экспериментальной кривой накопления продукта гидролиза субстрата после разбавления инкубационной смеси (рис. 1) определяется сумма  $(k_{-1} + k_2)$ . Действительно, после разбавления изменение концентрации продукта гидролиза субстрата  $[P]_{(t)}$ , пропорциональное изменению концентрации свободного фермента  $[E]_{(t)}$  при ненасыщающих фермент концентрациях субстрата, описывается следующим образом:

$$[P]_{(t)} = A \cdot e^{-(k_{-1} + k_2)t} + Bt + C, \quad (6)$$

где  $A = k_{-1}/(k_{-1} + k_2)^2$ ,  $B = k_{-1}/(k_{-1} + k_2) + \alpha$ ,  $C = -k_{-1}/(k_{-1} + k_2)^2$ ;  $\alpha$  — поправка на спонтанный гидролиз субстрата и остаточную в момент разбавления активность фермента. При достаточно больших временах, когда  $e^{-(k_{-1} + k_2)t} \rightarrow 0$ , график накопления продукта гидролиза субстрата представляет собой прямую (рис. 1); значит, после разбавления действительно выполняется условие  $k_1[I] \ll k_{-1} + k_2$ . Из уравнения (6) видно, что линейной по  $t$  частью будет функция  $[P]_{1(t)}$ :

$$[P]_{1(t)} = Bt + C. \quad (7)$$

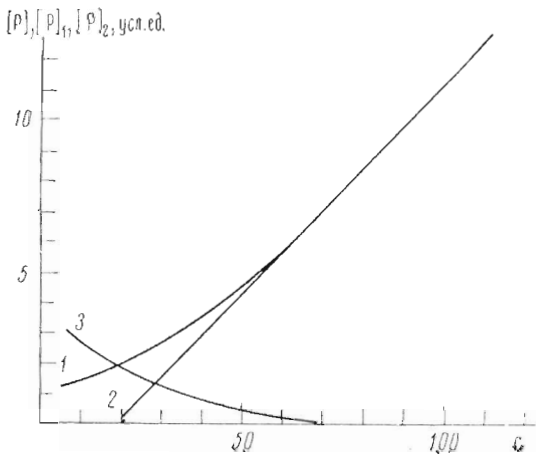


Рис. 1. Накопление продукта гидролиза субстрата после сильного разбавления реакционной смеси: 1 — функция  $[P]_{(t)}$ ; 2 — функция  $[P]_{1(t)}$  — линейная часть функции  $[P]_{(t)}$ ; 3 — функция  $[P]_{2(t)} \equiv [P]_{(t)} - [P]_{1(t)}$

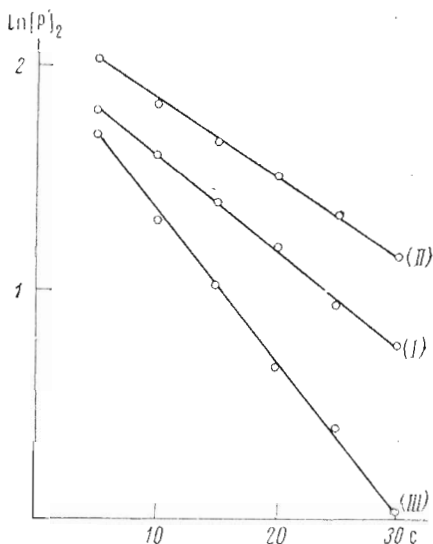


Рис. 2. Обработка экспериментальных зависимостей  $[P]_{(t)}$  от  $t$  в координатах  $\ln [P]_{2(t)}$  от  $t$  для О-бутил- $S$ -(β-фенилметиламиноэтил)метилтиоfosфоната (I),  $(k_{-1} + k_2) = 0,041 \text{ c}^{-1}$ , О-пропил- $S$ -(β-фенилметиламиноэтил)метилтиоfosfonata (II),  $(k_{-1} + k_2) = 0,034 \text{ c}^{-1}$ , О-этил- $S$ -(β-бутилмеркаптоэтил)фенилтиоfosfonata (III),  $(k_{-1} + k_2) = 0,065 \text{ c}^{-1}$

Логарифмируя функцию  $[P]_{2(t)} \equiv [P]_{(t)} - [P]_{1(t)}$ , получаем для зависимости  $\ln [P]_{2(t)}$  от  $t$  прямую с наклоном  $-(k_{-1} + k_2)$ :

$$\ln [P]_{2(t)} = \ln A - (k_{-1} + k_2)t, \quad (8)$$

так как  $A$  не зависит от  $t$ . На рис. 2 такие зависимости представлены для процессов распада комплексов бутирилхолинэстеразы с тремя ингибиторами.

Нетрудно видеть, что при использовании абсолютных значений измеряемой функции  $[P]_{(t)}$  можно вычислить значения  $k_{-1}$  и  $k_2$  отдельно, од-

нако точность таких оценок относительно невелика из-за малой величины объемов исходной смеси при разбавлении. Гораздо точнее оценки величины  $(k_{-1} + k_2)$ , так как в этом случае используется лишь кривизна функции  $[P]_{(t)}$ , на которую, очевидно, не влияют ошибки разбавления.

Важно отметить, что, согласно данным таблицы и рис. 2, имеет место удовлетворительное совпадение величин  $(k_{-1} + k_2)$ , полученных двумя совершенно различными методами.

Соотношение величин  $k_{-1}$  и  $k_2$  с наибольшей точностью может быть установлено сравнением минимальной оценки  $k_{2\min}$  и разности  $(k_{-1} + k_2) - k_{2\min}$ . В качестве величин  $k_{2\min}$  нами прияты максимальные значения  $K_1$ , наблюдавшиеся в эксперименте, поскольку, согласно (4),  $K_1([I])$  — монотонно возрастающая функция и

$$\lim_{[I] \rightarrow \infty} K_1([I]) = k_2, \quad (9)$$

а суммарные величины  $(k_{-1} + k_2)$  определены в настоящей работе (рис. 2). Соответственно для ингибитора (I)  $k_{2\min} = 0,031 \text{ c}^{-1}$ ,  $(k_{-1} + k_2) = 0,041 \text{ c}^{-1}$ , для ингибитора (II)  $k_{2\min} = 0,028 \text{ c}^{-1}$ ,  $(k_{-1} + k_2) = 0,034 \text{ c}^{-1}$ , для ингибитора (III)  $k_{2\min} = 0,032 \text{ c}^{-1}$ ,  $(k_{-1} + k_2) = 0,065 \text{ c}^{-1}$ . Таким образом, во всех исследованных случаях соотношение величин  $k_{-1}$  и  $k_2$  имеет вид  $k_{-1} \approx k_2$ .

Из полученных результатов следует, что широко распространенные априорные предположения о соотношении характеристических времен распада фермент-ингибиторного комплекса на исходные и конечные реагенты, или, другими словами, констант скоростей процесса десорбции ингибитора с фермента и процесса фосфорилирования фермента, неверны. В связи с этим уместно подчеркнуть, что, согласно данным прямых измерений времен десорбции малых молекул с макромолекул ферментов, эти времена могут быть очень велики [7, 8].

Соотношение  $k_{-1} \gg k_2$  постулируется, как правило, и для обычных химических реакций, идущих с образованием промежуточных ассоциативных комплексов [3]. Однако имеются данные, опровергающие это положение для классических примеров таких реакций [9].

В заключение отметим, что зависимость, представленная на рис. 1, по-видимому, наиболее прямое из существующих до сих пор кинетических доказательств наличия ассоциативной стадии в реакциях холинэстераз с необратимыми фосфорорганическими ингибиторами.

Следует иметь в виду, что интерпретация характеристических времен процессов, наблюдавшихся в изученных нами системах, как величины  $(k_{-1} + k_2)$ , основана на использовании схемы (1). В литературе нет данных о том, что реакция бутирилхолинэстеразы с необратимыми фосфорорганическими ингибиторами протекала бы по более сложному механизму. Тем не менее эта возможность, безусловно, не исключена. В таком случае измеряемая экспериментально временная характеристика будет иметь более сложный смысл и может рассматриваться как приближенная (вероятно, максимальная) оценка времени жизни наиболее стабильного промежуточного соединения реакции.

### Экспериментальная часть

В качестве фермента использовалась бутирилхолинэстераза сыворотки крови лошади (КФ 3.1.1.8) производства Пермского НИИ вакцины и сывороток, 3-го класса очистки с уд. акт. 8,9 МЕ/мг. Фосфорорганические ингибиторы синтезированы в лаборатории биоорганической химии Института элементоорганических соединений АН СССР С. А. Трифоновой и М. Х. Бекановым под руководством проф. Н. Н. Годовикова и описаны ранее [10, 11].

Экспериментальная процедура определения констант скоростей элементарных стадий реакции бутирилхолинэстеразы с необратимыми ингибиторами по зависимости  $K_1$  от  $[I]$  подробно описана ранее [6].

С целью прямого измерения характеристических времен распада фермент-ингибиторных комплексов в отдельном сосуде, термостатированном при 25°, исследуемый ингибитор инкубировался с ферментом при рН 7,5 (фосфатный буфер М/150). Концентрация ингибиторов соответствовала условию  $k_1 [I] \gg (k_{-1} + k_2)$  и подбиралась экспериментально, исходя из значений  $k$ ,  $k_{-1}$  и  $k_2$  (таблица). После кратковременной инкубации (15—20 с) из реакционной смеси отбирали пробу объемом 0,01 мл и помещали в кювету флуориметра [12], где уже находился раствор флуорогенного субстрата —  $\alpha$ -нафтилацетата — в концентрации  $2 \cdot 10^{-5}$  М ( $K_m = 3 \cdot 10^{-4}$  М) в фосфатном буфере М/150 при 25°, рН 7,5. При объеме кюветы 3 мл достигалось разбавление в 300 раз, что в каждом случае было достаточным для выполнения условия  $k_1 [I] \ll (k_{-1} + k_2)$ .

## ЛИТЕРАТУРА

- Кабачник М. И. (1964) Вестн. АН СССР, № 10, 60—68.
- Aldridge W. H., Reiner E. (1969) Biochem. J., 115, 147—162.
- Гамметт Л. П. (1972) Основы физической органической химии, с. 106—112. «Мир», М.; Hammett L. P. (1970) Physical Organic Chemistry, Second Edition, McGraw-Hill Book Co.
- Wilkinson G. N. (1961) Biochem. J., 80, 324—332.
- Hart G. I., O'Brien R. D. (1973) Biochemistry, 12, 2940—2945.
- Бресткин А. И., Лапитский К. В., Самокиш В. А., Смирнов О. И. (1974) Докл. АН СССР, 219, 999—1002.
- Barman B. G., Tollin G. (1972) Biochemistry, 11, 4746—4754.
- Taylor P. W., King R. W., Burgen A. S. W. (1970) Biochemistry, 9, 2638—2645.
- Bunnell J. F., Hermann D. H. (1970) Biochemistry, 9, 816—822.
- Годовиков Н. Н., Тейлов Н. Е., Трифонова С. А., Кабачник М. И. (1974) Ж. общ. химии, 44, 30—34.
- Годовиков Н. Н., Беканов М. Х., Берхамов М. Х., Кабачник М. И. (1974) Ж. общ. химии, 44, 34—37.
- Умецкая М. Н. (1970) Биохимия, 35, 736—739.

Поступила в редакцию  
25.VIII.1975

После переработки  
28.I.1976

## DIRECT DETERMINATION OF CHARACTERISTIC BREAKDOWN TIMES OF ENZYME-INHIBITOR COMPLEXES

LAPITSKY K. V., SAMOKISH V. A., SMIRNOV O. I.

*I. M. Sechenov Institute of Evolutionary Physiology  
and Biochemistry, Academy of Sciences of the USSR, Leningrad*

Characteristic breakdown time constants of enzyme-inhibitor complexes formed on butyrylcholinesterase (BuChE) interaction with O-butyl-S-( $\beta$ -phenylmethylaminoethyl)methylthiophosphonate (I), O-propyl-S-( $\beta$ -phenylmethylaminoethyl)methylthiophosphonate (II), and O-ethyl-S-( $\beta$ -butylmercaptoethyl)phenylthiophosphonate (III) have been determined to be 24, 29, and 15 sec, respectively. In terms of commonly used two-stage mechanism of BuChE interaction with irreversible organophosphorus inhibitors, the ratio of rate constants  $k_{-1}$  and  $k_2$  was discussed ( $k_{-1}$  characterizes breakdown of enzyme-inhibitor complex, and  $k_2$  relates to enzyme phosphorylation). A conclusion was drawn that the schemes based on  $k_{-1} \gg k_2$  assumption do not hold for reactions of the above type.